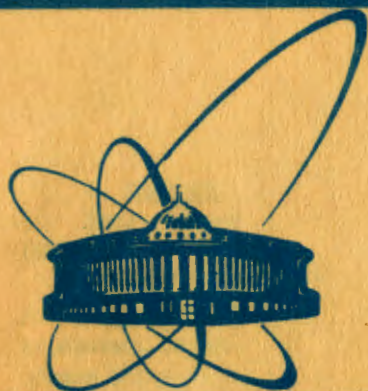


9/1-84



СООБЩЕНИЯ
ОБЪЕДИНЕННОГО
ИНСТИТУТА
ЯДЕРНЫХ
ИССЛЕДОВАНИЙ
ДУБНА

216/84

P2-83-708

Г.В.Ефимов, А.Д.Рябцев*

ОБ УСЛОВИИ СВЯЗНОСТИ
В ДВУХПЕТЛЕВОМ ПРИБЛИЖЕНИИ
В НЕЛОКАЛЬНОЙ МОДЕЛИ КВАРКОВ

* Ростовский государственный университет

1983

1. Введение

Учет двухпетлевого приближения в нелокальной модели кварков (НМК) /1/ представляет значительный интерес.

Во-первых, процессы, нарушающие правило Цвейга /2/, в рамках НМК уже в первом нечрезвычайном приближении описываются двухпетлевыми диаграммами. Например, распад φ -мезона на три пиона возможен за счет обмена виртуальным K -мезоном, как показано на рис. 1.

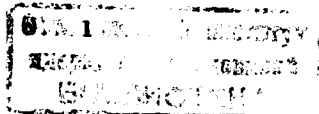
Во-вторых, для процессов, не нарушающих правила Цвейга, представляет интерес выяснить, насколько физически адекватным является учет высших приближений, ухудшает или улучшает он согласие с экспериментом.

Настоящая работа посвящена начальному этапу исследования двухпетлевого приближения в НМК, именно, формулировке условия связности на двухпетлевом уровне и применению его в простой модельной ситуации, когда пропагатор кварка-глюона есть гауссовская экспонента. Случай гауссовских пропагаторов, простой в техническом отношении, позволяет, тем не менее, сделать качественные заключения о поведении амплитуд при переходе от одно- к двухпетлевому приближению. Мы показываем, что для двухчастичных распадов мезонов, классифицируемых по группе $SU(N)$, в реалистическом случае $N = 3$ двухпетлевое приближение с двухпетлевым условием связности отличается от однопетлевого приближения с однопетлевым условием связности не более чем на 25 % для всех процессов за исключением одного. Для распада с участием только синглетных мезонов отличие больше: 85%. Мы рассматриваем этот результат как подтверждение разумности предположений, сделанных при формулировке условия связности на двухпетлевом уровне и как указание на применимость двухпетлевого приближения для описания реальных адронов (с возможным переопределением параметров модели).

2. Условие связности

Рассмотрение двухпетлевых диаграмм в амплитудах распадов требует учета двухпетлевого приближения и в условии связности.

В работе /3/ на основе анализа уравнений Дайсона получено условие связности в виде $Z_3 = 0$. Для практических вычислений следует еще конкретизировать выбор приближения для Z_3 . Иными словами, учет условия связности в том или ином приближении — это суммирование некоторого бесконечного подкласса диаграмм ряда теории возмущений. Выбор приближения для Z_3 и есть конкретизация этого подкласса.



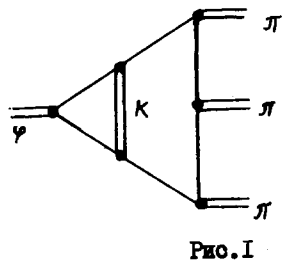


Рис.1

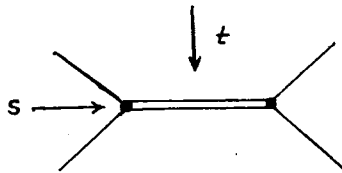


Рис.2

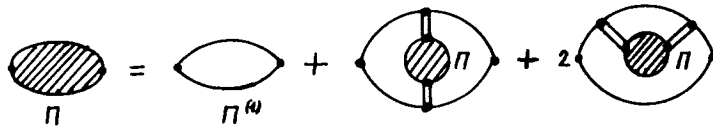


Рис.3

Рассмотрим лагранжиан Икавы

$$\mathcal{L}_Y = G_0 (\bar{\psi}\psi)\varphi, \quad (1)$$

где G_0 - голая константа связи. Голая масса бозона $-m_0$, физическая $-m$. Рассмотрим амплитуду рассеяния фермиона и антифермиона вблизи порога рождения бозона. В указанной кинематической области основной вклад дает аннигиляционная диаграмма рис. 2. Мы пренебрегаем одева-нием вершины и рассматриваем только радиационные поправки к пропагатору бозона. Пусть $M(s, t)$ - амплитуда рассеяния. Определим ренормированную константу связи G_R соотношением

$$M(s, t) \xrightarrow[s \rightarrow m^2, t \rightarrow 0]{} \frac{G_R^2}{m^2 - s}. \quad (2)$$

При пренебрежении одеваем вершины

$$M(s, t) = G_0^2 \mathcal{D}(s), \quad (3)$$

где $\mathcal{D}(s)$ - точный пропагатор бозона.

Константа перенормировки волновой функции бозона определяется как

$$Z_3 = \lim_{s \rightarrow m^2} m^2 (m^2 - s) \mathcal{D}(s). \quad (4)$$

Из (2), (3) и (4) следует

$$G_R^2 = Z_3 G_0^2. \quad (5)$$

В отличие от определения G_R в [3] мы можем не рассматривать перенормировку вершинной части, так как в НМК нам не понадобится контрольный член для вычитания расходимости из подграфа в выражении для $\mathcal{D}(s)$.

Из (4) и уравнения Дайсона для функции Грина следует выражение для Z_3 :

$$Z_3^{-1} = 1 - G_0^2 \Pi'(m^2), \quad (6)$$

где $\Pi(s)$ - поляризационный оператор. В двухпетлевом приближении $\Pi(s)$ удовлетворяет уравнению, графически показанному на рис. 3. Это уравнение можно символически записать как

$$\Pi(s) = \Pi^{(0)}(s) + G_0^2 \sum_i \iint \frac{d^4 k d^4 q}{[(2\pi)^4]^2} (-1)^{C_i} S_p(SSSS) \frac{1}{m_0^2 - q^2 + G_0^2 \Pi(q^2) - i\epsilon}, \quad (7)$$

где суммирование ведется по всем двухпетлевым диаграммам и промежуточным состояниям. Константы C_i и $S_p(SSSS)$, различные для разных диаграмм, нас пока не интересуют. В терминах ренормированных величин (7) можно переписать в виде

$$\Pi(s) = \Pi^{(0)}(s) + G_R^2 \sum_i \iint \frac{d^4 k d^4 q}{[(2\pi)^4]^2} (-1)^{C_i} S_p(SSSS) \frac{1}{m^2 - q^2 + G_R^2 \Pi_c(q^2) - i\epsilon}, \quad (7a)$$

где

$$\Pi_c(q^2) = \Pi(q^2) - \Pi(m^2) - (q^2 - m^2) \Pi'(m^2). \quad (8)$$

Приближенное решение (7a) получим, подставив в правую часть поляризационный оператор в однопетлевом приближении $\Pi^{(0)}(q^2)$:

$$\Pi^{(2)}(s) = \Pi^{(0)}(s) + G_R^2 \sum_i \iint \frac{d^4 k d^4 q}{[(2\pi)^4]^2} (-1)^{C_i} S_p(SSSS) \frac{1}{m^2 - q^2 + G_R^2 \Pi^{(0)}(q^2) - i\epsilon}. \quad (9)$$

Комбинируя (5), (6) и (9), получаем окончательный результат - выражение для Z_3 на двухпетлевом уровне через ренормированные величины:

$$Z_3 = 1 + \frac{d}{ds} G_R^2 \left\{ \Pi^{(0)}(s) + \sum_i G_R^2 \iint \frac{d^4 k d^4 q}{[(2\pi)^4]^2} (-1)^{C_i} \frac{S_p(SSSS)}{m^2 - q^2 + G_R^2 \Pi^{(0)}(q^2)} \right\} \Bigg|_{s=m^2}. \quad (10)$$

Условие связности

$$Z_3 = 0. \quad (11)$$

Рассматриваемое приближение эквивалентно суммированию одно- и двухпетлевых вставок в функцию Грина бозона. При этом на внутренних бозонных линиях предполагаются просуммированными все однопетлевые вставки. Отметим, что если условию связности на однопетлевом уровне легко дать интерпретацию в терминах уравнения Бете-Солпитера [4], то в случае условия (10)-(11) этого сделать не удается.

3. Применение к нелокальной модели кварков

Исследуем, как работает сформулированное в п.2 условие связности в НМК в модельном случае, когда пропагатор кварка-виртона - гауссовская экспонента.

Рассмотрим два N^2 - плета бозонов, классифицируемых по группе $SU(N)$. Лагранжиан взаимодействия имеет вид

$$L_{int} = \sum_k (g_{AK} \bar{\psi}_i \lambda_{ij}^a \Gamma_k \psi_j \varphi_{AK}^a + g_{SK} \bar{\psi}_i \lambda_{ij}^s \Gamma_k \psi_j \varphi_{SK}), \quad (I2)$$

где $K=1,2$ - номер мультиплета, φ_{AK}^a - (N^2-1) - плетны, φ_{SK} - синглеты. Нормировка генераторов $\delta_{ab}^c \lambda^a \lambda^b = \delta^{cd}$.

Вырождение по массам внутри каждого из N^2 - плетов считаем полным и $m_2 > 2m_1$, так что возможны двухчастичные распады.

Пропагатор кварка-виртона выбираем в виде

$$S_{ik}(p) = \frac{1}{i} \delta_{ik} L \exp\left(-\frac{p^2 L^2}{4}\right). \quad (I3)$$

В дальнейшем считаем, что безразмерные массы $\mu_i = \frac{m_i L}{2} \ll 1$. Кроме того, игнорируем лоренцевы структуры, $\Gamma_1 = \Gamma_2 = 1$. Тогда

$$g_{A1} = g_{A2} = g_A, \\ g_{S1} = g_{S2} = g_S. \quad (I4)$$

Выведем также параметр разложения $\lambda = g^2/16\pi^2$ и константу связи, нормированную на однопетлевое приближение, $\alpha = \lambda/\lambda^{(1)}$, где $\lambda^{(1)}$ одна и та же для всех частиц, вычисляется из условия связности в однопетлевом приближении и равна

$$\lambda^{(1)} = \frac{1}{2n_c}, \quad (I5)$$

где n_c - число цветов кварков.

Суммирование по цветам и промежуточным состояниям дает числовые коэффициенты в (I0). Для гауссовских пропагаторов $g^2 \Pi_c^{(n)}(q^2)$ имеет вид

$$g^2 \Pi_c^{(n)}(q^2) = -\left(\frac{2}{L}\right)^2 \cdot 2n_c \cdot \lambda \left[2 \cdot \left(e^{\frac{q^2 L^2}{4}} - 1\right) - q^2 \right]. \quad (I6)$$

Из-за простого вида пропагаторов часть интегрирований в (I0) можно выполнить, и в результате для констант перенормировки имеем

$$\bar{Z}_A = 1 - \alpha_A - \alpha_A \frac{32}{n_c N} \left[\alpha_A (-I_1(\alpha_A) + \frac{3}{2}(N^2-1)I_2(\alpha_A)) + \alpha_S (I_1(\alpha_S) + \frac{3}{2}I_2(\alpha_S)) \right],$$

$$\bar{Z}_S = 1 - \alpha_S - \alpha_S \frac{32}{n_c N} \left[\alpha_A (N^2-1) (I_1(\alpha_A) + \frac{3}{2}I_2(\alpha_A)) + \alpha_S (I_1(\alpha_S) + \frac{3}{2}I_2(\alpha_S)) \right]. \quad (I7)$$

Здесь

$$I_1(\alpha) = \frac{1}{8} \int_0^\infty dq q^3 e^{-q^2} \mathcal{D}(q^2, \alpha), \\ I_2(\alpha) = \frac{1}{8} \int_0^\infty dq q^3 e^{-\frac{3}{4}q^2} \mathcal{D}(q^2, \alpha), \quad (I8)$$

где

$$\mathcal{D}(q^2, \alpha) = \left[(1-\alpha)q^2 + 2\alpha(1-e^{-\frac{q^2}{2}}) \right]^{-1}. \quad (I9)$$

обезразмерный одетый в первом приближении пропагатор бозона в евклидовой метрике.

Условие связности имеет вид

$$\bar{Z}_A = 0, \\ \bar{Z}_S = 0. \quad (I20)$$

При $N=3$, $n_c=3$ приближенное решение (I20) запишется в виде:

$$\alpha_A = 0,38, \\ \alpha_S = 0,29. \quad (I21)$$

Как видим, учет двухпетлевых диаграмм уменьшает константу связи более чем вдвое. Таким образом, в НМК вклад диаграмм старших порядков в амплитуду физического процесса необходимо оценивать вместе с учетом в соответствующем порядке условия связности. Поэтому малость константы связи, вычисленной в некотором заданном, например, однопетлевом приближении, не является, вообще говоря, обязательным условием применимости этого приближения. Иными словами, в НМК нет теории возмущений в обычном смысле, как разложения по степеням малого параметра, а есть схема сильной связи, основанная на согласованном рассмотрении амплитуд распада и бесконечных подклассов диаграмм в условии связности.

Рассмотрим также приближенные решения (I20) в предельных случаях.

I) Количество частиц неограниченно растет, $N \rightarrow \infty$, $n_c=3$.

Удерживаем только ведущие члены

$$\bar{Z}_A = 1 - \alpha_A^2 \cdot N, \\ \bar{Z}_S = 1 - \alpha_A \cdot \alpha_S \cdot \frac{23}{12} \cdot N. \quad (I21')$$

Решение имеет вид

$$\alpha_A = \frac{1}{\sqrt{N}}, \\ \alpha_S = \frac{12}{23} \frac{1}{\sqrt{N}}. \quad (I22)$$

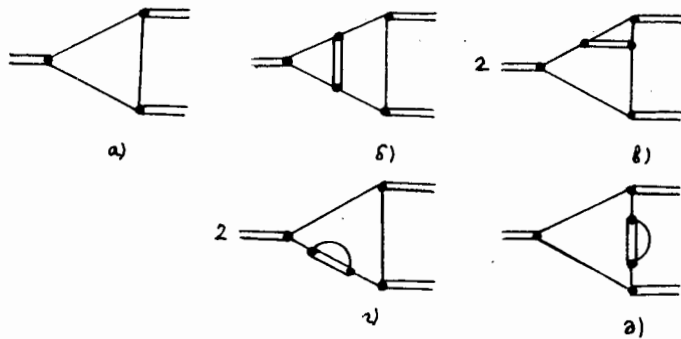


Рис. 4

Таким образом, константа связи неограниченно убывает при увеличении размера группы.

2) Размер группы не меняется, число цветов $n_c \rightarrow \infty$. В этом случае в (20) исчезают члены, соответствующие двухпетлевым диаграммам, и в точности воспроизводится однопетлевой результат:

$$\alpha_s = \alpha_A = 1. \quad (23)$$

Обратимся к рассмотрению амплитуд распадов, которые описываются суммой диаграмм рис. 4. Пусть S означает синглет, $A - (N^2 - 1)$ - плет

Возможны 4 варианта распада:

$$A \rightarrow 2A, \quad S \rightarrow 2A, \quad A \rightarrow SA, \quad S \rightarrow 2S.$$

В приближении $\mu = 0$ третья и вторая амплитуды совпадают, поэтому третью в дальнейшем не рассматриваем.

Амплитуды имеют вид

$$\begin{aligned} T_{A \rightarrow 2A}^{abc} &= -\frac{2^3}{\sqrt{6}} \frac{1}{L} sp(1^* 1^* 1^*) \sqrt{\alpha_A} \left[\frac{\pi}{9} + \frac{12}{N n_c} (-\alpha_A \mathcal{J}_1(\alpha_A) + \alpha_s \mathcal{J}_1(\alpha_s) + \right. \\ &\quad \left. + (N^2 - 1) \alpha_A \mathcal{J}_2(\alpha_A) + \alpha_s \mathcal{J}_2(\alpha_s) \right], \\ T_{S \rightarrow 2A}^{ab} &= -\frac{2^3}{\sqrt{6}} \frac{1}{L} \frac{\delta^{ab}}{\sqrt{N}} \sqrt{\alpha_s} \alpha_A \left[\frac{\pi}{9} + \frac{12}{N n_c} \left(\left(\frac{N^2}{3} - 1\right) \alpha_A \mathcal{J}_1(\alpha_A) + \alpha_s \mathcal{J}_1(\alpha_s) + \right. \right. \\ &\quad \left. \left. + (N^2 - 1) \alpha_A \mathcal{J}_2(\alpha_A) + \alpha_s \mathcal{J}_2(\alpha_s) \right) \right], \\ T_{S \rightarrow 2S} &= -\frac{2^3}{\sqrt{6}} \frac{1}{L} \frac{1}{N^{3/2}} \sqrt{\alpha_s} \alpha_s \left[\frac{\pi}{9} + \frac{12}{n_c} \left((N^2 - 1) \alpha_A (\mathcal{J}_1(\alpha_A) + \mathcal{J}_2(\alpha_A)) + \right. \right. \\ &\quad \left. \left. + \alpha_s \mathcal{J}_1(\alpha_s) + \alpha_s \mathcal{J}_2(\alpha_s) \right) \right], \end{aligned} \quad (24)$$

где

$$\begin{aligned} \mathcal{J}_1(\alpha) &= \frac{2\pi}{25} \int_0^\infty dq q^3 \mathcal{D}(q, \alpha) e^{-\frac{2}{5} q^2}, \\ \mathcal{J}_2(\alpha) &= \frac{2\pi}{25} \int_0^\infty dq q^3 \mathcal{D}(q, \alpha) e^{-\frac{4}{5} q^2}. \end{aligned}$$

Таблица

	$N=3, n_c=3$	$N \rightarrow \infty, n_c=3$	$N=3, n_c \rightarrow \infty$
$A \rightarrow 2A$	0,45	$\frac{9}{5} \frac{1}{N^{3/4}}$	1
$S \rightarrow 2A$	0,76	$\frac{11\sqrt{3}}{5\sqrt{23}} \frac{1}{N^{3/4}}$	1
$S \rightarrow 2S$	1,86	$\frac{72\sqrt{3}}{23\sqrt{23}} N^{3/2}$	1

Первый член в прямых скобках, одинаковый во всех трех случаях, соответствует вкладу диаграмм рис. 4а. Амплитуды в однопетлевом приближении получим, оставив только этот член и положив $\alpha_A = \alpha_s = 1$. Амплитуды в двухпетлевом приближении найдем, используя вычисленные выше значения α_A и α_s .

В таблице I приведены отношения амплитуд двухпетлевого и амплитуд однопетлевого приближения для различных n_c и N , причем в предельных случаях оставлены только ведущие члены. В практически важном случае $n_c = 3, N = 3$ отличие двухпетлевого приближения от однопетлевого для большинства процессов (для тех, в которых участвуют несинглетные частицы) не превышает 25%. Это указывает на разумность сделанных предположений и позволяет надеяться на возможность успешного применения двухпетлевого приближения для описания реальных адронов.

Литература

1. Ефимов Г.В., Иванов М.А. ЭЧАЯ, 1981, т.12, с.1220.
2. Okubo S. Phys.Rev., 1977, D16, p.2336.
3. Lurie D., Macfarlane A.J. Phys.Rev., 1964, 136, p. B816.
4. Güttinger W. Nuovo Cimento, 1965, 36, p.968.

Рукопись поступила в издательский отдел
13 октября 1983 года

НЕТ ЛИ ПРОБЕЛОВ В ВАШЕЙ БИБЛИОТЕКЕ?

Вы можете получать по почте перечисленные ниже книги, если они не были заказаны ранее.

D3-11787	Труды III Международной школы по нейтронной физике. Алушта, 1978.	3 р. 00 к.
D13-11807	Труды III Международного совещания по пропорциональным и дрейфовым камерам. Дубна, 1978.	6 р. 00 к.
	Труды VI Всесоюзного совещания по ускорителям заряженных частиц. Дубна, 1978 /2 тома/	7 р. 40 к.
D1,2-12036	Труды V Международного семинара по проблемам физики высоких энергий. Дубна, 1978	5 р. 00 к.
D1,2-12450	Труды XIII Международной школы молодых ученых по физике высоких энергий. Приморско, НРБ, 1978.	3 р. 00 к.
	Труды VII Всесоюзного совещания по ускорителям заряженных частиц, Дубна, 1980 /2 тома/	8 р. 00 к.
D11-80-13	Труды рабочего совещания по системам и методам аналитических вычислений на ЭВМ и их применению в теоретической физике, Дубна, 1979	3 р. 50 к.
D4-80-271	Труды Международной конференции по проблемам нескольких тел в ядерной физике. Дубна, 1979.	3 р. 00 к.
D4-80-385	Труды Международной школы по структуре ядра. Алушта, 1980.	5 р. 00 к.
D2-81-543	Труды VI Международного совещания по проблемам квантовой теории поля. Алушта, 1981	2 р. 50 к.
D10,11-81-622	Труды Международного совещания по проблемам математического моделирования в ядерно-физических исследованиях. Дубна, 1980	2 р. 50 к.
D1,2-81-728	Труды VI Международного семинара по проблемам физики высоких энергий. Дубна, 1981.	3 р. 60 к.
D17-81-758	Труды II Международного симпозиума по избранным проблемам статистической механики. Дубна, 1981.	5 р. 40 к.
D1,2-82-27	Труды Международного симпозиума по поляризационным явлениям в физике высоких энергий. Дубна, 1981.	3 р. 20 к.
P18-82-117	Труды IV совещания по использованию новых ядерно-физических методов для решения научно-технических и народнохозяйственных задач. Дубна, 1981.	3 р. 80 к.
D2-82-568	Труды совещания по исследованиям в области релятивистской ядерной физики. Дубна, 1982.	1 р. 75 к.
D9-82-664	Труды совещания по коллективным методам ускорения. Дубна, 1982.	3 р. 30 к.
D3,4-82-704	Труды IV Международной школы по нейтронной физике. Дубна, 1982.	5 р. 00 к.

Заказы на упомянутые книги могут быть направлены по адресу:
101000 Москва, Главпочтамт, п/я 79
Издательский отдел Объединенного института ядерных исследований

Ефимов Г.В., Рябцев А.Д.

P2-83-708

Об условии связности в двухпетлевом приближении в нелокальной модели кварков

Условие связности $Z_3 = 0$ для бозе-частицы формулируется в явном виде на двухпетлевом уровне. Полученное условие применяется в нелокальной модели кварков для описания амплитуд двухчастичных распадов в модельном случае, когда пропагатор кварка - гауссовская экспонента. Рассмотрены распады мезонов, классифицируемых по группе $SU(N)$ при числе цветов кварков n_c . В реалистическом случае $N = 3$, $n_c = 3$ отличие амплитуд двухпетлевого от амплитуд однопетлевого приближения для большинства процессов не превышает 25%. Делается вывод о возможности применения двухпетлевого приближения для описания реальных процессов. Рассмотрены также асимптотики $N \rightarrow \infty$ и $n_c \rightarrow \infty$. В последнем случае двухпетлевые диаграммы не дают вклада в асимптотику.

Работа выполнена в Лаборатории теоретической физики ОИЯИ.

Сообщение Объединенного института ядерных исследований. Дубна 1983

Efimov G.V., Ryabtsev A.D.

P2-83-708

About Compositness Condition In Two-Loop Approximation In the Nonlocal Quark Model

The compositness condition $Z_3 = 0$ is given in an explicit form on the two-loop level. The condition is applied to nonlocal quark model in illustrative case, quark propagator being Gaussian exponent. Meson decays are considered, flavour group being $SU(N)$ and a number of quark colours n_c . The differences between two loop and one loop amplitudes are no more than 25% for most of the processes, when the values of parameters are realistic, $N = 3$, $n_c = 3$. It is concluded that the application of the two loop approximation for describing real processes is possible. Asymptotics $N \rightarrow \infty$ and $n_c \rightarrow \infty$ are considered as well. In the latter case it is found that the two loop diagrams do not contribute into asymptotics.

The investigation has been performed at the Laboratory of Theoretical Physics, JINR.

Communication of the Joint Institute for Nuclear Research. Dubna 1983

Перевод О.С.Виноградовой